

## دراسة عددية لانتقال الحرارة بالحمل الحر من اسطوانتين متوازيتين أفقيتين محاطتين باسطوانة دائرية

محمود حسين على

مدرس مساعد

قسم الهندسة الميكانيكية - جامعة تكريت

### الخلاصة

أنجز في هذا البحث دراسة عددية لانتقال الحرارة بالحمل الحر ثانئي البعد في الحالة المستقرة من اسطوانتين متوازيتين أفقيتين ضمن حيز أسطواني. تسخن الاسطوانتين الداخليةتين في حالة ثبوت درجة حرارة السطح وتنتميان تماماً بينما تبرد الاسطوانة الخارجية في حالة ثبوت درجة حرارة السطح أيضاً. استخدم نظام الإحداثيات المطابقة للحدود في حل المعادلات الحاكمة. تم حل معادلتي دوامية دالة الانسياب والطاقة باستخدام طريقة الفروقات المحددة الواضحة (Explicit) أما معادلة دالة الانسياب فتم حلها باستخدام طريقة التكرار المتعاقب. تمت دراسة (20) حالة مختلفة تمثل تأثير تغير موقع الاسطوانتين الداخليةتين أفقياً وعمودياً ضمن الاسطوانة الخارجية على انتقال الحرارة وقوه الطفو المسببة للجريان ولمدى اعداد رالي بين (25,000-1,000). وقد مثلت النتائج بشكل مخططات ثبوت درجة الحرارة ودالة الانسياب وعدد نسلت الموضعى والمعدل. تبين ان موقع الاسطوانتين الداخليةتين يؤثر بصورة فعالة على انتقال الحرارة وحركة المائع ضمن الحيز. وقد اظهرت النتائج بان معدل عدد نسلت يزداد بزيادة المسافة الافقية بين الاسطوانتين الداخليةتين في اعداد رالي الواطئة بينما يحصل العكس في اعداد رالي العالية،اما بحركة الاسطوانتين الداخليةتين باتجاه قعر الاسطوانة الخارجية فان معدل عدد نسلت يزداد في جميع اعداد رالي. وقد تم تحديد الموقع الذي يحصل فيه أقصى معدل لانتقال الحرارة والموقع الذي يحصل فيه أدنى معدل لانتقال الحرارة عند كل عدد رالي بحيث يمكن الاستفادة منه في عملية العزل لمنع تسرب الحرارة أو في عملية التبريد لزيادة انتقال الحرارة.

**الكلمات الدالة:** الحمل الحر، اسطوانتين أفقيتين، دراسة عددية.

### المقدمة

التبريد في المفاعلات النووية. وقد لوحظ بان الكابلات المدفونة تحت الارض والتي تستخدم لنقل الطاقة الكهربائية ذات الضغط العالى المبردة بالغاز المضغوط تت Dell نتائج التمدد الحراري مما يؤدي إلى تغيير تمركز السلك في مركز الأنبوب و يتغير تبعاً لذلك معدل انتقال الحرارة<sup>[2,1]</sup>. وقد حظي انتقال الحرارة بالحمل الطبيعي خلال الفجوة المحصورة

لقد اكتسبت معرفة توزيع مجال الجريان ومجال الحرارة ضمن حيز مغلق (حمل طبيعي) ولأشكال هندسية عديدة أهمية كبيرة وذلك لأهميته الواسعة في الصناعة وتطبيقاته الكثيرة في مجالات متعددة مثل عزل مستقبلات المجمع الشمسي وعزل خطوط الأنابيب المدفونة تحت الأرض وأنظمة

هذه الحالة سوى بحث واحد لشكل هندسي قريب وهو يتناول حساب إجهاد القص على سطحي اسطوانتين أفقيتين متماستين محاطتين باسطوانة خارجية متمسقة معهما أيضاً أي قطر الاسطوانة الخارجية يساوي مجموع قطرى الاسطوانتين الداخليتين والذي أنجز من قبل (النداوى)<sup>[1]</sup> وبناءً على ما جاء في توصيات هذا المصدر فقد تم إعداد فكرة البحث الحالي. يقصد بالتعقيد في الشكل الهندسي عدم تطابق حدود الشكل الهندسي مع خطوط الإحداثيات لأحد الأنظمة المعتادة كـالإحداثيات الكارتيزية او الأسطوانية مما يعقد إمكانية التعبير عن الشروط الحدودية بشكل يسير دون اللجوء إلى طرائق الاستكمال التي تؤدي إلى فقدان الدقة في النتائج، ولتجاوز هذه الصعوبات تم في هذا البحث استخدام نظام من الإحداثيات تسمى (الإحداثيات المطابقة للحدود Boundary Fitted Coordinate) وتنكتب اختصاراً (BFC) حيث يمكن بواسطة هذه الإحداثيات التعبير عن الشروط الحدودية بسهولة ويسر من خلال مطابقة حدود الشكل الهندسي مع الإحداثيات وتنطلب هذه الإحداثيات تحويل المعادلات التفاضلية الحاكمة والشروط الحدودية أيضاً إلى هذه النظام من الإحداثيات والتي تحول فيما بعد إلى معادلات جبرية يمكن حلها بالطرائق العددية المعتادة.

بين اسطوانة داخلية مسخنة متمركزة او غير متمركزة في حيز اسطواني بالعديد من البحوث والدراسات الشاملة والواافية. ومن ابرز هذه الدراسات دراسة (Kuhne & Goldstein)<sup>[1]</sup> النظرية والعملية لانتقال الحرارة بالحمل الحر بين اسطوانتين متمركزين والدراسة العددية التي قام بها Charrier (وآخرون)<sup>[2]</sup> لذات الحالة علاوة على الدراسة العددية للحمل الحر الطباقي والاضطرابي من قبل (Farouk & Guceri)<sup>[3]</sup>.

بالنسبة لانتقال الحرارة بالحمل الحر لاسطوانتين غير متمركزين فقد أنجزت (Kuhne & Goldstein)<sup>[4]</sup> دراسة عملية وانجزت دراسات عددية من قبل (Cho وآخرون)<sup>[5]</sup> و(Prusa & Yao)<sup>[6]</sup> و(Guj & Stella)<sup>[7]</sup> أما Naylor (وآخرون)<sup>[8]</sup> فقدموا دراسة عملية ونظيرية لانتقال الحرارة بين اسطوانتين غير متمركزين. أما الحالة الانتقالية لانتقال الحرارة بالحمل الحر لمسألة الفجوة الحلقية الأدقية قد درست من قبل (Tsui & Tremblay)<sup>[9]</sup>. أما بالنسبة لأشكال هندسية اعقد مما تم عرضه فقد أنجز (Shu وآخرون)<sup>[10]</sup> دراسة عددية لانتقال الحرارة بالحمل الحر من اسطوانة دائرية أدقية غير متمركزة داخل حيز مربع الشكل وبين تأثير مقدار الالامركزية على معامل انتقال الحرارة.

اما فيما يخص شكل هندسي معقد كاسطوانتين دائريتين أفقيتين محاطتين بحيز اسطواني دائري والذي هو موضوع الدراسة الحالية ومن خلال مراجعة وافية للبحوث المتوفرة المنشورة في مجال انتقال الحرارة في الدوريات المتاحة ومواقع الانترنت فلم نتمكن من الحصول على بحوث تتناول

### النموذج الرياضي والمعادلات الحاكمة

يوضح الشكل (أ-1) الشكل الهندسي المستخدم في البحث الحالي والذي يتكون من اسطوانتين دائريتين افقيتين متوازيتين قطر كل منها (d) محاطتين باسطوانة ثالثة دائيرية الشكل قطرها (D)، وبعد مرکز كل اسطوانة من

على الرغم من ان الموضوع يتناول انتقال الحرارة في الحالة المستقرة يتم الإبقاء على حد الزمن في المعادلات الحاكمة لاستخدام تقنية الزحف الزمني (Time Marching) في حل هذه المعادلات وصولاً إلى حالة الاستقرار<sup>[12]</sup>، ومن مميزات هذه الطريقة استقرارية الحل العددي. يتم حذف حد انحدار الضغط في معادلتي الزخم (3) عن طريق الاشتغال المتعاكش لهاتين المعادلتين وذلك باشتلاق المعادلة (2) نسبة إلى (y) والمعادلة (3) نسبة إلى (x) وطرح إداتها من الأخرى فيتم الحصول على معادلة نقل الدوامية وبعد التعويض عن مركبتي السرعة الافقية والعمودية بدلالة دالة الانسياب وترتيب المعادلة وإعادة كتابتها بدلالة المقاييس الابعدية تكون الصيغ النهائية للمعادلات الحاكمة الابعدية بالشكل الآتي:

$$\Omega = - \left( \frac{\partial^2 \Psi}{\partial X^2} + \frac{\partial^2 \Psi}{\partial Y^2} \right) \quad \dots \dots \dots \quad (5)$$

$$\frac{\partial \Omega}{\partial \tau} + \frac{\partial \Psi}{\partial Y} \frac{\partial \Omega}{\partial X} - \frac{\partial \Psi}{\partial X} \frac{\partial \Omega}{\partial Y} = Ra \ Pr \frac{\partial \phi}{\partial X} + Pr \left( \frac{\partial^2 \Omega}{\partial X^2} + \frac{\partial^2 \Omega}{\partial Y^2} \right) \quad \dots \dots \dots \quad (6)$$

$$\frac{\partial \phi}{\partial \tau} + \frac{\partial \Psi}{\partial Y} \frac{\partial \phi}{\partial X} - \frac{\partial \Psi}{\partial X} \frac{\partial \phi}{\partial Y} = \frac{\partial^2 \phi}{\partial X^2} + \frac{\partial^2 \phi}{\partial Y^2} \quad \dots \dots \dots \quad (7)$$

والمقادير الابعدية هي كالتالي:

$$X = \frac{x}{d}, \quad Y = \frac{y}{d}, \quad U = \frac{ud}{\alpha}, \quad V = \frac{vd}{\alpha}, \\ \Psi = \frac{\psi}{\alpha}, \quad \Omega = \frac{\omega d^2}{\alpha}$$

$$Pr = \frac{\nu}{\alpha}, \quad Ra = \frac{g \beta (T_i - T_o) d^3}{\nu \alpha},$$

$$\phi = \frac{T - T_o}{T_i - T_o}, \quad \tau = \frac{\alpha t}{d^2}$$

حيث (Ra) يمثل رقم رالي (Rayleigh Number).

الاسطوانتين الداخليةتين عن مركز الاسطوانة الخارجية مسافة افقية مقدارها (Sx) ومسافة شاقولية مقدارها (Sy) ويتناظر موقع هاتين الاسطوانتين حول الخط الشاقولي المار بمركز الاسطوانة الخارجية. وقد تم تثبيت الاحداثيات في مركز الاسطوانة الخارجية. درجة حرارة سطح الاسطوانة الخارجية ثابتة مقدارها (To) ودرجة حرارة السطح كل من الاسطوانتين الداخليةتين هي (Ti) وتبقى ثابتة ايضاً. ولأجل الحصول على النموذج الرياضي لانقال الحرارة بالحمل الحر في الشكل الهندسي الحالي يفترض ان حركة المائع وتوزيع درجة الحرارة ثنائية البعد (2-D) أي لا توجد تغيرات في الاتجاه المحوري والمائع احتكاكى ولزج وغير انضغاطي وخواصه ثابتة مع درجة الحرارة. أما التغير في الكثافة يتم تقريره باستخدام فرضية (Boussinesq)<sup>[9]</sup>.

للحصول على توزيع درجة الحرارة ومجال الجريان في الحمل الحر يجب حل معادلات تفاضلية جزئية متقارنة (Coupled Partial Differential Equations) مشتقة استناداً على مبدأ حفظ الكتلة والزخم والطاقة والتي تكتب بالشكل الآتي<sup>[9]</sup>:

$$\frac{\partial u}{\partial x} + \frac{\partial v}{\partial y} = 0 \quad \dots \dots \dots \quad (1)$$

$$\frac{\partial u}{\partial t} + u \frac{\partial u}{\partial x} + v \frac{\partial u}{\partial y} = \nu \left( \frac{\partial^2 u}{\partial x^2} + \frac{\partial^2 u}{\partial y^2} \right) - \frac{1}{\rho} \frac{\partial p}{\partial x} \quad \dots \dots \dots \quad (2)$$

$$\frac{\partial v}{\partial t} + u \frac{\partial v}{\partial x} + v \frac{\partial v}{\partial y} = \nu \left( \frac{\partial^2 v}{\partial x^2} + \frac{\partial^2 v}{\partial y^2} \right) - \frac{1}{\rho} \frac{\partial p}{\partial y} - g [1 - \beta (T - T_o)] \quad \dots \dots \dots \quad (3)$$

$$\frac{\partial T}{\partial t} + u \frac{\partial T}{\partial x} + v \frac{\partial T}{\partial y} = \alpha \left( \frac{\partial^2 T}{\partial x^2} + \frac{\partial^2 T}{\partial y^2} \right). \dots \dots \dots \quad (4)$$

السطح لاستخدامها في محاولة لاحقة بعد حساب توزيع دالة الانسياب ومن ثم حساب السرع الأفقية والعمودية وانحدارها على السطح وتعويضها في معادلة الدوامية ، ويبيّن الشكل (ب-1) الجزء المستخدم في الحل والشروط الحدوية للمسألة. ونظرًا للتماثل التام بين الاسطوانتين الداخليةين سيتم اعتماد مصطلح الاسطوانة الداخلية للإشارة إلى كلِّيهما.

#### طريقة الحل

يتم تحويل الاحاديث من المجال الفيزيائي  $(x,y)$  الى احاديث عامة  $(\zeta,\eta)$  مطابقة لحدود الشكل الهندسي ومتعددة في المجال الحسابي كما موضح في الشكل(2). وبفترض ان تكون هناك علاقة قيمة وحيدة بين الاحاديث العامة والاحاديث الفيزيائية والذي تكتب بالشكل الآتي:

$$\eta = \eta(x, y), \zeta = \zeta(x, y) \dots \dots \dots (8)$$

وباستخدام دالة تحويل مناسبة فانه يمكن إنشاء الشبكة في المجال الفيزيائي وكذلك فانه يمكن من هذه الدالة (العلاقة بين المجال الفيزيائي والحسابي) تحويل المعادلات الحاكمة الحاوية على المشتقات الجزئية الى

معادلات مناظرة في المجال الحسابي [14,13].

وقد استخدم في البحث الحالي معادلة تفاضلية كعلاقة بين الاحاديث العامة والاحاديث الفيزيائية وهي معادلة بويسن (Poisson) والتي تكتب بالشكل الآتي [15,14,13].

$$\frac{\partial^2 \zeta}{\partial x^2} + \frac{\partial^2 \zeta}{\partial y^2} = P(\zeta, \eta) \dots \dots \dots (9-a)$$

$$\frac{\partial^2 \eta}{\partial x^2} + \frac{\partial^2 \eta}{\partial y^2} = Q(\zeta, \eta) \dots \dots \dots (9-b)$$

و( $\text{Pr}$ ) رقم برانتل (Prandtl Number) و( $\omega$ ) يمثل

$\omega = \frac{\partial v}{\partial x} - \frac{\partial u}{\partial y}$  (اما مركبتي السرعة الأفقية والعمودية بدالة دالة

$$v = -\frac{\partial \psi}{\partial x}, \quad u = \frac{\partial \psi}{\partial y} \quad \text{و}$$

بالنسبة للشروط الحدوية والابتدائية فان تقنية الزحف الزمني تتطلب تحديد قيم اولية للمتغيرات للبدء بحل هذه المعادلات في اتجاه محور الزمن أي عند الزمن ( $t=0$ ) وهو ما يعرف بالشروط الابتدائية للمسألة ويعبر عنها رياضياً بالصورة الآتية:

$$\Omega = \phi = \psi = 0 \quad \text{at } t = 0$$

والشروط الحدوية على سطحي الاسطوانتين الداخليةين وسطح الاسطوانة الخارجية يعتمد على شروط عدم الانزلاق وعدم النفاذية بالنسبة للزخم وثبوت درجة الحرارة، ويمكن التعبير عن هذه الشروط الحدوية بدالة المقادير الابعدية كالتالي:

عند سطح كل من الاسطوانتين الداخليةين

$$U = V = \Psi = 0, \quad \phi = I$$

عند سطح الاسطوانة خارجية

$$U = V = \Psi = 0, \quad \phi = 0$$

ولأن الشكل الهندسي لمسألة البحث الحالي متوازن حول الاحادي الشاقولي المار بمركز الاسطوانة الخارجية لذلك فمن المنطقى استخدام نصف المجال في الحل ويتربّع على ذلك الشروط الحدوية الآتية عند خط التنازير :

$$U = \Psi = \Omega = \frac{\partial V}{\partial X} = \frac{\partial \phi}{\partial X} = 0$$

اما الشروط الحدوية للدوامية على سطحي الاسطوانتين الداخليةين وعلى سطح الاسطوانة الخارجية فتكون مجهرولة لاعتمادها على انحدار السرعة لذلك يمكن الحصول على الدوامية عند

$$\frac{\partial \Omega}{\partial \tau} + \left( -\frac{\partial \Psi}{\partial \zeta} \frac{\partial \Omega}{\partial \eta} + \frac{\partial \Psi}{\partial \eta} \frac{\partial \Omega}{\partial \zeta} \right) / J = \text{Pr} \left( \sigma \frac{\partial^2 \Omega}{\partial \zeta^2} - 2\delta \frac{\partial^2 \Omega}{\partial \zeta \partial \eta} + \gamma \frac{\partial^2 \Omega}{\partial \eta^2} \right) / J^2 + Q(\zeta, \eta), P(\zeta, \eta)$$

$$Ra \text{Pr} \left( \frac{\partial \phi}{\partial \zeta} \frac{\partial y}{\partial \eta} - \frac{\partial \phi}{\partial \eta} \frac{\partial y}{\partial \zeta} \right) / J \quad \dots\dots\dots (12)$$

$$\frac{\partial \phi}{\partial \tau} + \left( \frac{\partial \Psi}{\partial \zeta} \frac{\partial \phi}{\partial \eta} - \frac{\partial \Psi}{\partial \eta} \frac{\partial \phi}{\partial \zeta} \right) / J = \left( \sigma \frac{\partial^2 \phi}{\partial \zeta^2} - 2\delta \frac{\partial^2 \phi}{\partial \zeta \partial \eta} + \gamma \frac{\partial^2 \phi}{\partial \eta^2} \right) / J^2 \quad \dots\dots\dots (13)$$

يعرف عدد نسلت الذي يعطي علاقة لابعدية يمكن من خلالها حساب معامل انتقال الحرارة كالتالي:

$$Nu = \frac{hd}{k} \quad \dots\dots\dots (14)$$

ويكون عدد نسلت الموضع على محيط الاسطوانة الداخلية بدلالة المتغيرات الابعدية بالشكل آلاتي:

$$Nu = - \left. \frac{\partial \phi}{\partial R} \right|_{R=R_i} \quad \dots\dots\dots (15)$$

حيث ( $R$ ) يمثل نصف قطر لابعدى ويساوي ( $R = r/d$ ) وبما أن سطح الاسطوانة يمثل خط (ك) ثابت ولكن درجات الحرارة على طول جدار الاسطوانة ثابتة ومتساوية فان انحدار درجة الحرارة بدلالة الاحاديث ( $\eta, \zeta$ ) يكون كما يلي [16]:

$$\frac{\partial \phi}{\partial R} = \left( \sqrt{\gamma} \frac{\partial \phi}{\partial \eta} \right) / J \quad \dots\dots\dots (16)$$

أما متوسط عدد نسلت فيتم حسابه من تكامل عدد نسلت الموضع على محيط الاسطوانة من التكامل الآتي:

$$\overline{Nu} = \frac{1}{2\pi} \int_0^{2\pi} Nu_\theta \cdot d\theta \quad \dots\dots\dots (17)$$

يمكن حل معادلتي الدوامية دالة انسياپ والطاقة (13,12) بإسلوب الطريقة الواضحة [13,12] وصولاً إلى حالة الاستقرار (Explicit) وذلك لكونهما من نوع القطع المكافيء بالنسبة للزمن.

حيث ( $\zeta, \eta$ ) هما دوال السيطرة على توزيع وتعديم خطوط الشبكة وللحصول على إحداثيات ( $x, y$ ) بدلالة ( $\zeta, \eta$ ) يتم عكس المتغيرات في المعادلة (9) فتنتج المعادلات:

$$\left( \sigma \frac{\partial^2 x}{\partial \zeta^2} - 2\delta \frac{\partial^2 x}{\partial \zeta \partial \eta} + \gamma \frac{\partial^2 x}{\partial \eta^2} \right) / J^2 = - \left[ \frac{\partial x}{\partial \zeta} P(\zeta, \eta) + \frac{\partial x}{\partial \eta} Q(\zeta, \eta) \right] \quad \dots\dots\dots (10-a)$$

$$\left( \sigma \frac{\partial^2 y}{\partial \zeta^2} - 2\delta \frac{\partial^2 y}{\partial \zeta \partial \eta} + \gamma \frac{\partial^2 y}{\partial \eta^2} \right) / J^2 = - \left[ \frac{\partial y}{\partial \zeta} P(\zeta, \eta) + \frac{\partial y}{\partial \eta} Q(\zeta, \eta) \right] \quad \dots\dots\dots (10-b)$$

حيث

$$\sigma = \left( \frac{\partial x}{\partial \eta} \right)^2 + \left( \frac{\partial y}{\partial \eta} \right)^2,$$

$$\gamma = \left( \frac{\partial x}{\partial \zeta} \right)^2 + \left( \frac{\partial y}{\partial \zeta} \right)^2,$$

$$\delta = \frac{\partial x}{\partial \zeta} \frac{\partial x}{\partial \eta} + \frac{\partial y}{\partial \zeta} \frac{\partial y}{\partial \eta},$$

$$J = \frac{\partial x}{\partial \zeta} \frac{\partial y}{\partial \eta} - \frac{\partial x}{\partial \eta} \frac{\partial y}{\partial \zeta}$$

يتم تحويل المعادلات التقاضية الجزئية الحاكمة لمسألة انتقال الحرارة بالحمل الحر من الإحداثيات الفيزيائية إلى الإحداثيات الجديدة بدلالة المتغيرات ( $\zeta, \eta$ ) لكل حد من حدود هذه المعادلات وذلك باستخدام التحويلات المشتقة من المعادلة (10) [15,14,13]. وعليه تصبح المعادلات الحاكمة (7,6,5) في الإحداثيات ( $\zeta, \eta$ ) كالآتي:

$$\left( \sigma \frac{\partial^2 \Psi}{\partial \zeta^2} - 2\delta \frac{\partial^2 \Psi}{\partial \zeta \partial \eta} + \gamma \frac{\partial^2 \Psi}{\partial \eta^2} \right) / J^2 = -Q \quad \dots\dots\dots (11)$$

(3) وباستخدام قيم صفرية لدوال السيطرة ( $P, Q$ ) أي تم حل معادلة لابلاس ( $\Lambda\alpha\pi\lambda\alpha\chi\epsilon$ ) لغرض الحصول على تعامد افضل<sup>[13]</sup>، وقد استخدمت (91) تقسيمة بالاتجاه المماس لسطح الاسطوانة الداخلية (الاتجاه  $\gamma$ ) و (51) تقسيمة بالاتجاه العمودي على (ي) (الاتجاه  $\eta$ ) وتم اختيار هذه القيم وشكل شبكة العقد بعد دراسة مستفيضة لتأثيرها على استقرارية النتائج وبالتحديد معدل عدد نسلت. واستخدمت طريقة التكرار المتعاقب وبدقة ( $10^{-5}$ ) لحل المعادلات الجبرية الناتجة من تقسيم المعادلة (10) باستخدام طريقة الفروقات المحددة. استخدمت خطوة زمنية (Δt) مقدارها ( $10^{-5}$ ). وحددت دقة ( $10^{-4}$ ) كاخصى قيمة للنسبة المئوية لفرق درجات الحرارة بين خطوة زمنية وأخرى للتتأكد من الاقتراب من حالة الاستقرار. ولزيادة دقة النتائج فان العمليات الحسابية تستمر لحين الحصول على فرق اقل من ( $10^{-3}$ ) بين معدل عدد نسلت على الاسطوانة الداخلية ومعدل عدد نسلت على الاسطوانة الخارجية وعندما تتوقف العمليات التكرارية باعتبار تم الوصول الى حالة الاستقرار. وتراوحت عدد الخطوط الزمنية المئوية الى النتائج بين ( $9 \times 10^3$ ) و ( $60 \times 10^3$ ) خطوة. وحددت دقة ( $10^{-3}$ ) لتوقف العمليات التكرارية لحساب توزيع دالة الانسياب ضمن كل خطوة زمنية.

#### النتائج والمناقشة

تمت دراسة تأثير تحريك الاسطوانتين الداخليةين افقياً وعمودياً على توزيع درجات الحرارة وحركة المائع عند أعداد رالي مختلفة. اذ استخدمت ثلاثة قيم مختلفة من المسافة الافقية ( $Sx$ ) (Sy) عند (d, 1.25d, 1.5d)

اما معادلة دالة الانسياب (11) فيتم حلها باستخدام طريقة التكرار المتعاقب ضمن كل خطوة زمنية. لاثبات امكانية استخدام نظام الإحداثيات المطابقة للحدود (BFC) للحصول على نتائج موثوقة واختبار فاعلية البرنامج الذي اعد لهذا الغرض فقد ارتبينا مقارنة نتائجنا مع نتائج بحث منشورة سابقاً، ولما لم يتم الحصول على بحث مشابهة كما تمت الاشارة اليه سابقاً فقد قورنت نتائج اختبارية مع نتائج المصدر<sup>[8]</sup> والذي يدرس حالة الحمل الحر من اسطوانة لامتمركزة افقياً ضمن اسطوانة خارجية نسبة القطر بينهما ( $\Delta/\delta = 2.6$ ) ونسبة الامركزية ( $Sx/(D-d)/2 = 0.6$ ) فتم حساب معدل انتقال الحرارة بصيغة الموصلية المكافئة ( $K_{eq}$ ) ولا عدد رالي مختلف وقورنت مع نتائج هذا المصدر والشكل (4) وبين ذلك وكما يتضح منه تطابق النتائج الى حد يمكن وصفه بالممتاز. كما وقورن توزيع درجة الحرارة دالة الانسياب المحصلة من البرنامج الحالي مع نتائج المصدر<sup>[11]</sup> والذي يدرس الحمل الحر من اسطوانتين متمركزان نسبة القطر بينهما ( $\Delta/\delta = 2.6$ ) وجلی من الشكل (5) توافق نتائجنا مع ما تم عرضه في هذا المصدر. وما سبق عرضه يؤكد كفاءة الطريقة المستخدمة وفاعليته برنامج الحاسوبي المعد للحصول على نتائج الحل العددي للمعادلات الحاكمة للحمل الحر باستخدام نظام الإحداثيات المطابقة للحدود.

تم حل المعادلة (10) للحصول على شبكة العقد التي تمثل الشكل الفيزيائي لمسألة البحث الحالي في الإحداثيات ( $\eta, \gamma$ ) وذلك بتحديد إحداثيات حدود الشكل الهندسي من خلال تمثيل سطح الاسطوانات بقيمة ثابتة من الإحداثيات ( $\eta, \gamma$ ) كما مبين في الشكل

وكما مبين في الجدول (1) ويعزى هذا السلوك الى زيادة قوة الطفو وحركة المائع بسبب زيادة عدد رالي. عند زيادة عدد رالي الى (10,000) يبدأ تختصر وانقسام الدوامة السالبة عند القيمة الاخيرة للمسافة الافقية ( $S_x$ ) لأن زيادة عدد رالي يساعد على زيادة انتقال الحرارة وزيادة قوة الطفو مما يسرع حركة الحمل ويتحول دون تكون دوامة اخرى الا عندما يكون المجال ضيقاً جداً وهذا الشرط يتوفّر عندما تكون ( $S_x=1.5d$ ) اما بالنسبة للدوامة الموجبة فانها تزداد شدة مع زيادة المسافة الافقية. بزيادة عدد رالي الى ( $Ra=25,000$ ) يتلاشى أي انقسام للدوامة السالبة او ميلها للانقسام لزيادة حركة الطفو اما الدوامة الموجبة فنفل شدتها.

اما تأثير المسافة العمودية ( $S_y$ ) بثبوت المسافة الافقية ( $S_x$ ) عند ( $1.25d$ ) على حركة المائع فيمكن ملاحظته من خلال الشكل (7). فعند رالي ( $Ra=1,000$ ) يلاحظ نشوء دوامة موجبة تزداد في الشدة والحجم مع تغير ( $S_y$ ) من (- $0.5d$ ) الى ( $0.5d$ ). وذلك لتتوفر المجال الكافي لها. فعند ( $S_y=0.5d$ ) تنشأ دوامة سالبة وتتشكل نواة لانقسامها فوق الاسطوانة الداخلية وتزداد شدة عندما تكون المسافة ( $S_y=0$ ) وينظر فيها الانقسام واضحاً وعندما تصبح المسافة ( $S_y=-0.5$ ) تض محل الدوامة السالبة السفلية لعدم توفر ما يؤهلها للبقاء حيث ان التيار الساخن الصاعد يتখن اكثر نتيجة ملامسته لجدار الاسطوانة الداخلية ويستمر في مساره دون نزوله إلى الأسفل لتكوين دوامة اخرى. يلاحظ تقريباً نفس التصرف بالنسبة لتوزيع دالة الانسياب والدوامات عندما يكون عدد رالي ( $Ra=5,000$ ) ولكن تزداد شدة الدوامات ويمكن ملاحظة اقصى قيم

صفر. وقيمتين للمسافة العمودية ( $S_y$ ) هما (- $0.5d, 0.5d$ ) بثبوت المسافة الافقية ( $S_x$ ) عند ( $1.25d$ ) وعند اعداد رالي مختلفة هي (20,000 ، 5000 ، 1000) أي ما مجموعه (20) حالة. كانت نسبة القطر بين الاسطوانة الخارجية والاسطوانة الداخلية ( $D/d=5$ ). والفترات اللاحقة تمثل عرضاً للنتائج التي توصلنا اليه.

#### تأثير موقع الاسطوانتين الداخليةتين على مجال الجريان

سيعتمد خلال المناقشة كلمة دوامية موجبة للتدويم مع عقرب الساعة ودوامية سالبة للإشارة الى التدويم عكس عقرب الساعة. وبين الطرف الايسر في كل جزء من الشكل (6) تأثير المسافة ( $S_x$ ) وعدد رالي على توزيع دالة الانسياب بثبوت ( $S_y$ ) عند صفر. عندما يكون عدد رالي ( $Ra=1,000$ ) وتكون المسافة الافقية ( $S_x=d$ ) يلاحظ نشوء دوامتين متعاكستين، القريبة من خط التناظر الشاقولي تكون موجبة والأخرى سالبة وبزيادة المسافة الافقية الى ( $1.25d$ ) فان الدوامة الموجبة تزداد شدة ويكبر حجمها ويتحرك جزء منها نحو الاسفل اما الدوامة السالبة فانها تقل شدة وتختصر بحيث تظهر بداية انقسامها الى دوامتين احداهما فوق الاسطوانة الداخلية والآخر اسفلها لان اندفاع الاسطوانة الداخلية باتجاه جدار الاسطوانة الخارجية يؤدي الى حصر الجريان بينهما وينع خطوط الدوامة السالبة من تكملة مسارها مشكلاً بذلك نواة دوامة جديدة تتطور لتصبح دوامة كاملة اسفل الاسطوانة الداخلية عند ( $S_x=1.5d$ ). بالنسبة لعدد رالي ( $Ra=5,000$ ) فان الشكل العام لتأثير المسافة ( $S_x$ ) يكون نفسه تقريباً عدا ان القيمة العظمى لدالة الانسياب للدوامة الموجبة والسالبة تتغير

عند ( $Sy=d$ ) لقلة الإعاقة لحركة الحمل مثيرةً إلى بوادر زيادة نشاط الحمل. علاوة على ذلك تتشكل منطقة شبه راكدة قريبة من الزاوية ( $180^\circ$ ) للاسطوانة الخارجية مقاساً من قمتها ف تكون الالية السائدة هي التوصيل، ومع زيادة عدد رالي الى (10,000) ومن ثم الى (25,000) فان تأثير تيارات الحمل يزداد ويكون هو السائد في عملية انتقال الحرارة وتطور ريشة الطفو وتتوسع اكثر ويظهر انقلاب خطوط ثبوت درجات الحرارة بشكل اوضح واثد بالمقارنة مع الحالات السابقة. وتظهر مساهمة التوصيل فقط عندما تكون المسافة المحصورة بين الاسطوانتين الداخلية والخارجية ضيقة أي عند المسافة الافقية ( $Sx=1.25d$ ) لأنها تتسبب في اعاقة حركة الحمل.

يبين الشكل (7) تأثير تغير المسافة العمودية ( $Sy$ ) على توزيع درجات الحرارة بثبوت المسافة الافقية ( $Sx$ ) عند ( $1.25d$ )، فعند عدد رالي ( $Ra=1,000$ ) فان توزيع درجات الحرارة يكون شبهاً بالتوصيل ولجميع المسافات لضعف خلايا الحمل نتيجة عدد رالي الواطئ وبزيادة عدد رالي فان حركة الحمل تنشط ف تكون ريشة الطفو اقوى وتتوسع قمتها بتغير ( $Sy$ ) من ( $0.5d$ ) الى ( $-0.5d$ ) وتظهر بوادر انقلاب درجات الحرارة اسفل مستوى مركز الاسطوانة الداخلية في الجهة المقابلة لخط التظاهر وبحركة الاسطوانة الداخلية نحو الاسفل فان موقع انقلاب درجات الحرارة يتحرك الى مستوى اعلى من مركز الاسطوانة الداخلية اذ انه يرافق حركة مركز الدوامة السالبة وبالتحديد عند عدد رالي (25,000) فان انقلاب درجات الحرارة يكون على مدى اوسع حول محيط الاسطوانة الداخلية وبحركة الاسطوانة الداخلية نحو الاسفل أي تغير المسافة العمودية ( $Sy$ )

لداالة الانسياب في الجدول (1)، اما عندما يكون عدد رالي ( $Ra=10,000$ ) فان الدوامة السالبة تكون اسفل مستوى مركز الاسطوانة الداخلية عند ( $Sy=0.5d$ ) وتتشاشي الدوامة السالبة السفلية ابتدأ من ( $Sy=0$ ) بخلاف ما سبق من اعداد رالي وهذا ناتج من زيادة انتقال الحرارة الذي يتبع زيادة عدد رالي وهذا الشيء يتضح اكثراً عند ( $Ra=25,000$ ) حيث لا وجود سوى دوامة سالبة واحدة مركزها اسفل مستوى مركز الاسطوانة الداخلية بقليل عند ( $Sy=0.5d$ ) ويقصد مركزها تدريجياً مع حركة الاسطوانة الداخلية نحو الأسفل .

#### تأثير موقع الاسطوانتين الداخليةتين على مجال درجات الحرارة

يمثل الطرف الابعد في جميع الاجزاء من الشكلين (6 و 7) خطوط ثبوت درجة الحرارة. يتضح من الشكل (6) تأثير المسافة الافقية ( $Sx$ ) على توزيع درجات الحرارة لاعداد رالي مختلفة بثبوت المسافة العمودية ( $Sy$ ) عند صفر. يلاحظ عند عدد رالي ( $Ra=1,000$ ) تشابه خطوط ثبوت درجة الحرارة تقريباً لجميع قيم المسافة الافقية والشكل العام لتوزيع درجات الحرارة قريب من التوصيل وذلك لضعف خلايا الحمل نتيجة عدد رالي الواطئ عدا بالقرب من قمة الاسطوانة الداخلية والذي ينشأ عندها ريشة الطفو نتيجة انفصال الطبقة المتاخمة ويتغير ميلان قمة ريشة الطفو بشكل طفيف باتجاه خط التظاهر وتتوسع قمتها تدريجياً إما بزيادة عدد رالي فان حركة الحمل تنشط أكثر ويتشوه التوزيع المنتظم لدرجات الحرارة ويحصل تمويج في درجات الحرارة في المنطقة المحصورة بين الاسطوانة الداخلية والخارجية في الجهة المقابلة لخط التظاهر ويكون هذا التأثير واضحاً

تحصل فيه ريشة الطفو وتقربياً عند الموضع الزاوي  $\theta=15^\circ$  (أعداد رالي  $(25,000-5,000)$  ويصل إلى قيمة عظمى بالقرب من الزاوية  $(\theta=165^\circ)$ . وتخفيقي القيمة الصغرى التي كانت تحدث بالقرب من خط التناقض نتيجة انفصال الطبقة المتاخمة كما هي عليه الحال عند المسافة الافقية ( $Sx=d$ ). اما عندما تكون المسافة الافقية ( $Sx=1.5d$ ) (شكل 10) فعند عدد رالي  $(5,000)$  و  $(10,000)$  يكون عدد نسلت عند ادنى قيمة له في قمة الاسطوانة الداخلية لحدوث ريشة الطفو في هذا الموضع ويكون مستوى عدد نسلت بشكل منتظم تقربياً وضمن المدى الزاوي  $(265-45^\circ)$  درجة باستثناء قيمة صغرى محلية عند  $(\theta=100^\circ)$  عدد رالي  $(5,000)$  وعند  $(\theta=110^\circ)$  لعدد رالي  $(10,000)$  حيث يكون انتقال الحرارة بالتوصيل هو السائد اما عند عدد رالي  $(25,000)$  فإنه يلاحظ قيمة صغرى عند  $(\theta=90^\circ)$  بسبب تقييد حركة الحمل في هذه المنطقة وقيمة صغرى اخرى عند  $(\theta=220^\circ)$  بسبب انفصال الطبقة المتاخمة بشكل اقوى من القيم الاخرى لعدد رالي.

اما عندما يتغير المسافة العمودية ( $Sy$ ) الى  $(0.5d)$  مع ثبوت ( $Sx=1.25d$ ) (شكل 11) فان عدد نسلت يكون عند قيمة صغرى له تقربياً في قمة الاسطوانة الداخلية ويكون الشكل العام لتغيير عدد نسلت الموضعى في هذه الحالة مشابهاً تقربياً للشكل  $(9)$  ويمكن ملاحظة تشابه في توزيع درجات الحرارة بين هاتين الحالتين أيضاً.

اما عند  $(Sy=-0.5d)$  (شكل 12) فان عدد نسلت يكون في ادنى قيمة له عند  $(\theta=10^\circ)$  تقربياً ويلاحظ ارتفاع في مستوى عدد نسلت في الموضع الزاوي  $(\theta=180^\circ)$  تقربياً لحصول توصيل حراري ويهبط قليلاً عند الموضع الزاوي  $(\theta=250^\circ)$  بسبب

فان انقلاب درجات الحرارة يكون اشد لأن نطاق حركة المائع يكون أوسع بحيث أن المائع جميعه يكون تقربياً في حالة حركة ونقل المساحة الراكدة أسفل الاسطوانة الداخلية مما يزيد من انتقال الحرارة بالحمل في المستوى فوق مركز الاسطوانة الداخلية ويزداد التوصيل أسفلها لصغر المسافة وبالتالي نقصان المقاومة للتوصيل والذي يمكن ملاحظته من تغير عدد نسلت على محيط الاسطوانة الداخلية. تأثير موقع الاسطوانتين الداخليةتين على عدد نسلت تبين الأشكال من  $(10-8)$  توزيع عدد نسلت الموضعى على محيط الاسطوانة الداخلية ولقيم مختلفة من عدد رالي بثبوت المسافة العمودية ( $Sy$ ) عند صفر وتغير المسافة الافقية من  $(d)$  الى  $(1.5d)$ . يلاحظ في جميع الأشكال ان توزيع عدد نسلت الموضعى عند عدد رالي  $(Ra=1,000)$  يكون أكثر انتظاماً لأن الحالة تماثل التوصيل الحراري ويكون هو السائد في عملية انتقال حرارة عدا القيمة الصغرى التي تلاحظ بالقرب من قمة الاسطوانة الداخلية في موقع حدوث ريشة الطفو. اما في اعداد رالي الاخرى  $(25,000-5,000)$  فعند المسافة الافقية  $(Sx=d)$  (شكل 8) فان عدد نسلت الموضعى يحصل فيه قيمة في الموضع القريب من الزاوية  $(\theta=150^\circ)$  لوجود المجال الكافى لحركة خلايا الحمل في هذه المنطقة ويصل عدد نسلت الى ادنى قيمة محلية تقربياً عند الزاوية  $(\theta=255^\circ)$  لعدد رالي  $(5,000)$  بازاحة  $(15^\circ)$  درجة تقربياً عند كل زيادة لعدد رالي وذلك لانفصال الطبقة المتاخمة في هذه المنطقة والتي تقلل من انتقال الحرارة.

اما عند المسافة الافقية  $(Sx=1.25d)$  (شكل 9) فتكون ادنى قيمة لعدد نسلت في الموضع الذى

الاسطوانة الداخلية نحو الأسفل فان معدل عدد نسلت يزداد ولجميع اعداد رالي، اذ ان تأثير ذلك يكون تقليل المساحة الراکدة اسفل الاسطوانة الداخلية والذي يحصل فيه التوصيل من جهة ومن جهة اخرى فان نزول الاسطوانة الداخلية يؤدي الى زيادة المساحة التي تحصل فيها تيارات الحمل مما يزيد من انتقال الحرارة والتي تنشط اكثر بزيادة عدد رالي ويكون بصورة ملفة للنظر عند عدد رالي (Ra=25,000). ومن خلال هذا الشكل يمكن تحديد افضل موقع للاسطوانة الداخلية بحيث يمكن الحصول على اوطأ او اعلى قيمة لمعدل عدد نسلت وعند اعداد رالي مختلفة.

من خلال النتائج التي تم الحصول عليها تم التوصل الى علاقة ارتباطية لغير عدد معدل نسلت بدلالة عدد رالي وموقع الاسطوانة الداخلية المتمثلة بالمسافة الافقية والعمودية (Sx) و (Sy) على التوالي والنسبة بين قطر الاسطوانة الخارجية الى الاسطوانة الداخلية وبمعامل ارتباط (R2=0.9812) وبالصيغة الآتية:

$$Nu = 2095 Ra^{0.2779} \cdot \frac{291.325}{(Sx/d)^{0.000566}} + \frac{291.897}{(0.5D/d \cdot Sy/d)^{0.000796}}$$

#### الاستنتاجات

من خلال النتائج التي حصل عليها يمكن التوصل الى الاستنتاجات الآتية:

1 - إمكانية استخدام نظام الاحداثيات المطابقة للحدود (BFC) بصورة فاعلة في حل المسائل ذات الأشكال الهندسية المعقدة

2 - في اعداد رالي الواطئة فان الحمل والتوصيل يشتركان معاً في عملية انتقال الحرارة وبزيادة عدد رالي فان آلية الحمل يتضح أكثر ويكون

انفصال الطبقة المتاخمة. عند ملاحظة هذا الشكل فان مستوى عدد نسلت عند عدد رالي (25,000) يكون أعلى من مستوى عدد نسلت عند بقية اعداد رالي وعند نفس رقم رالي في بقية الأشكال وهذا ناتج من زيادة تيارات الحمل وتقطفيتها لمساحة واسعة من الحيز فوق الاسطوانة الداخلية والتي يمكن ملاحظتها من توزيع خطوط دالة الانسياب على حساب المساحة الراکدة اسفل الاسطوانة الداخلية نتيجة حركتها نحو الاسفل والتي من الممكن ان تساهم هي الاخرى في تقوية عملية التوصيل لانخفاض المقاومة ضد التوصيل وهذا مؤشر على تحسن انتقال بشكل لم يتم ملاحظته في الحالات السابقة.

**تأثير موقع الاسطوانتين الداخليةين على معدل عدد نسلت**

يوضح الشكل (13) مقارنة لمعدل عدد نسلت مع عدد رالي لمواقع مختلفة للاسطوانة الداخلية، فعند ثبوت (Sy) عند صفر وبزيادة المسافة الافقية (Sx) يزداد معدل عدد نسلت عند عدد رالي (Ra=1,000) اذا يكون الحمل غير فعالاً لصغر عدد رالي فيلعب التوصيل دوراً اساسياً في انتقال الحرارة. بزيادة عدد رالي فان حركة الحمل تنشط وبضعف التوصيل الحراري فيتقارب معدل عدد نسلت عند القيم المختلفة للمسافة الافقية (Sx) حتى يكون الفرق طفيفاً جداً عند (Ra=10,000) وبزيادة عدد رالي اكثر فان الحالة تعكس بحيث يزداد عدد نسلت مع نقصان المسافة الافقية والسبب في ذلك يعود الى زيادة حركة خلايا الحمل نتيجة زيادة عدد رالي وبتوفر المجال الكافي لخلايا الحمل للحركة اي بنقصان المسافة الافقية (Sx) فان معدل انتقال الحرارة تزداد.

اما عند تغيير المسافة العمودية من (0.5d) الى (-0.5d) بثبوت المسافة الافقية (Sx) أي بحركة

- Of A Flow Due To Natural Convection In Horizontal Cylindrical Annulus" J. Heat Transfer, Feb. (1979), Vol. 101, Pp.171-173.
- 3-Faruak, B. and Guceri, S. I. "Laminar And Turbulent Natural Convection In The Annulus Between Horizontal Concentric Cylinders", J. Heat Transfer, Nov. (1982), Vol. 104, Pp. 631-636
- 4-Kuehn,T.H. and Goldstin, R. J. "An Experimental Study Of Natural Convection Heat Transfer In Concentric And Eccentric Horizontal Cylindrical Annuli" J. Heat Transfer, Nov. (1978), Vol. 100, Pp. 635-640.
- 5-Cho, C. H., Chang, K. S. and Park, K. H. "Numerical Simulation Of Natural Convection In Concentric And Eccentric Horizontal Cylindrical Annuli" J. Heat Transfer, Nov. (1982), Vol. 104, Pp. 624-630.
- 6-Prusa, J. and Yao, L. S. "Natural Convection Heat Transfer Between Eccentric Horizontal Cylinders" J. Heat Transfer, Feb. (1983), Vol. 105, Pp. 108-115.
- 7-Guj, G. and Stella, F. "Natural Convection In Horizontal Eccentric Annuli: Numerical Study" Numer. Heat Transfer, 27, (1995), Pp89-105.
- 8-Naylor, D., Badr, H. M. and Tarasuk, J. D. "Experimental And Numerical Study Of Natural Convection Between Two Eccentric Tubes" Int. J. Heat Mass Transfer, (1989), No.1, Vol. 32, Pp. 171-181.
- 9-Tsui, Y. T. and Tremblay, B. "On Transient Natural Convection Heat Transfer In The Annulus Between Concentric Horizontal Cylinders With
- هو السائد في عملية انتقال الحرارة ويشترك التوصيل فقط عندما تكون الفجوة بين الاسطوانة الداخلية والاسطوانة الخارجية المعاكسة لخط التاظر ضيقاً بحيث لا مجال لخلاليا الحمل للحركة بسهولة.
- عند اعداد رالي الواطئة( $Ra < 10,000$ ) فان زيادة المسافة الافقية( $Sx$ ) يؤدي الى زيادة معدل عدد نسلت اما في اعداد رالي العالية فان الحالة تعكس أي يقل معدل عدد نسلت مع زيادة المسافة الافقية بين الاسطوانتين الداخليةين أي انفعهما نحو الاسطوانة الخارجية.
- 4 - بحركة الاسطوانتين الداخليةين الى الاسفل أي تغير المسافة العمودية ( $Sy$ ) فان معدل عدد نسلت يزداد في جميع اعداد رالي التي تمت دراستها وبشكل ملفت للنظر في اوطأ موقع للاسطوانتين الداخليةين عند عدد رالي (25,000).
- 5 - من خلال دراسة تأثير موقع الاسطوانتين الداخليةين على انتقال الحرارة يمكن تحديد امثل موقع الذي يمكن من خلاله الحصول على أعلى أو اوطأ معدل لانتقال الحرارة لتوظيفه حسب التطبيق إذا كان الهدف هو عملية عزل حراري أو عملية تبريد.
- المصادر
- 1-Kuehn,T.H. and Goldstin, R. J. "An Experimental And Theoretical Study Of Natural Convection In The Annulus Between Horizontal Concentric Cylinders", J. Fluid Mech. (1976), Vol. 74, Part 4,Pp.695-719.
- 2-Charrir-Mojtabi, M. C., Mojtabi, A. and Caitagirone, J. P. "Numerical Solution

Heat Transfer Conference Vol.2 Pp.  
447-451, 1986.

Isothermal Surfaces” Int. J. Heat &Mass Transfer, (1984), No.1, Vol. 27, Pp. 103-111.

10-Shu, C., Xue, H. and Zhu, Y. D. “Numerical Study Of Natural Convection In An Eccentric Annulus Between A Square Outer Cylinder And A Circular Inner Cylinder Using DQ Method” Int. J. Heat Mass Transfer, (2001), No.44, Pp.3321-3333.

11-النداوي، عبد السلام داود ”إيجاد توزيع اجهادات القص على أسطح اسطوانتين داخلتين محاطتين باسطوانة ثلاثة خارجية نتيجة لحركة المائع المحصور بين سطح الاسطوانات الثلاثة بتأثير الحمل الطبيعي” المجلة العلمية لجامعة تكريت / قطاع العلوم الهندسية، عدد 1، المجلد 1 (1994) ص 25-40.

12- Robert, W. Hornbeck, “Numerical Marching Techniques For Fluid Flows With Heat Transfer”, NASA, (1973).

13-Fletcher, C. A. J. and Srinivas, K. “Computational Techniques For Fluid Mechanics 2” Springer series in Computational Physics, Springer-Verlag Berlin Heidelberg, (1988).

14-Thompson, J. F., Warsi, Z. U. A. and Mastin, C. W. “Numerical Grid Generation” North-Holland, Amsterdam, (1985).

15-Filipiak, M. “Mesh Generation” Edinburgh Parallel Computing Center, The University of Edinburgh, (1996).

16-Broughton, R. C. & Oliver, A. J. “A Numerical Model For Convection In Complex Two-Dimensional Geometries And Its Application To Buoyancy Flow In Power Cable”, Int.

### الرموز

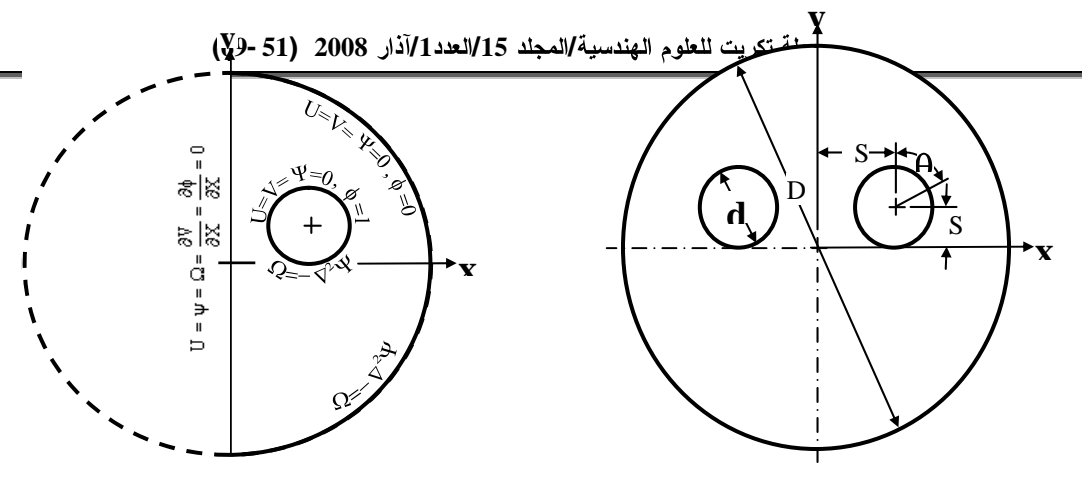
المعنى	الرمز
قطر الاسطوانة الخارجية	D
قطر اسطوانة داخلية	d
التعجيل الأرضي	g
معامل انتقال الحرارة الحولي	h
جاكوبيا	J
معامل انتقال الحرارة التوصيلي	K
عدد نسلت	Nu
معدل عدد نسلت	$\overline{Nu}$
الضغط	P
عدد براننت	Pr
نصف قطر الابعدى	R
نصف قطر	r
عدد رالي	Ra
درجة الحرارة	T
الزمن	t
السرعة الابعدية الأفقية و العمودية	U,V
السرعة الأفقية و العمودية	u,v
الإحداثيات الكارتيزية الابعدية	X,Y
الإحداثيات الكارتيزية	x,y
الدوامية الابعدية	$\Omega$
الدوامية	$\omega$
دالة الانسياب الابعدية	$\Psi$
دالة الانسياب	$\psi$
الانتشارية الحرارية	$\alpha$

اللزوجة المطلقة	$\mu$	معامل التمدد الحراري	$\beta$
		درجة الحرارة اللابعدي	$\phi$
المعنى		الرمز	
اللزوجة الكينماتية		$v$	
الزاوية مع الخط الشاقولي		$\theta$	
الكثافة		$\rho$	
معاملات التحويل للاحاديث			
العامة		$\sigma, \delta, \gamma$	
الزمن اللابعدي		$\tau$	
الاحاديث العامة		$\zeta, \eta$	
الرموز التحتية			
الداخلي		I	
الخارجي		O	

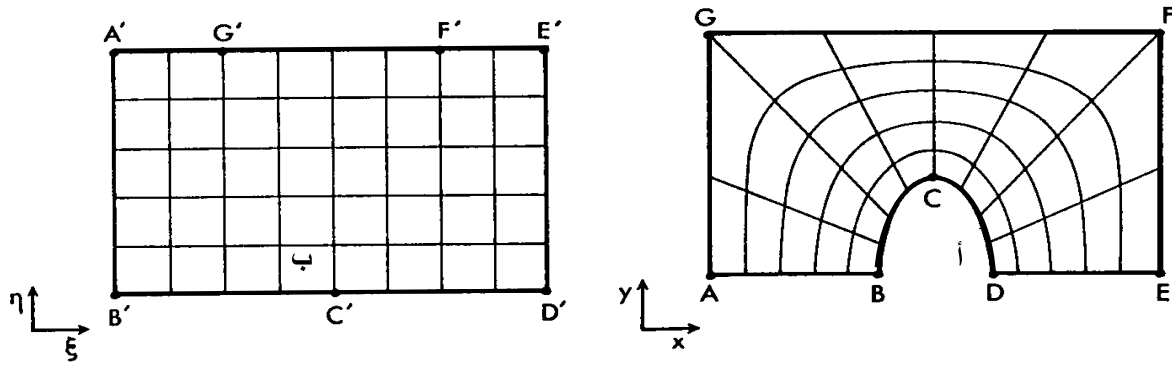
جدو (1) القيم العظمى لدالة الانسياب ( $\Psi_{max}$ ) للدوامة الموجبة (- $\Psi_{max}$ ) للدوامة السالبة

Ra	Sx=1.25d			Sy=0		
	Sy	- $\Psi_{max}$	$\Psi_{max}$	Sx	- $\Psi_{max}$	$\Psi_{max}$
1,000	0.5d	-1.963532	3.357809	1.00d	-2.988303	5.065611
	0	-2.155811	5.463709	1.25d	-2.155811	5.463709
	-0.5d	-2.979427	7.002509	1.50d	-1.856994	5.623934
5,000	0.5d	-5.112551	12.42240	1.00d	-8.693101	15.46393
	0	-6.817806	16.75322	1.25d	-6.817806	16.75322
	-0.5d	-8.829745	19.69319	1.50d	-5.879705	17.23336
10,000	0.5d	-7.756414	18.46270	1.00d	-12.79976	23.03387
	0	-10.34823	23.84492	1.25d	-10.34823	23.84492
	-0.5d	-14.05971	26.99860	1.50d	-8.722836	24.04020
25,000	0.5d	-12.01833	28.80583	1.00d	-19.08534	40.01965

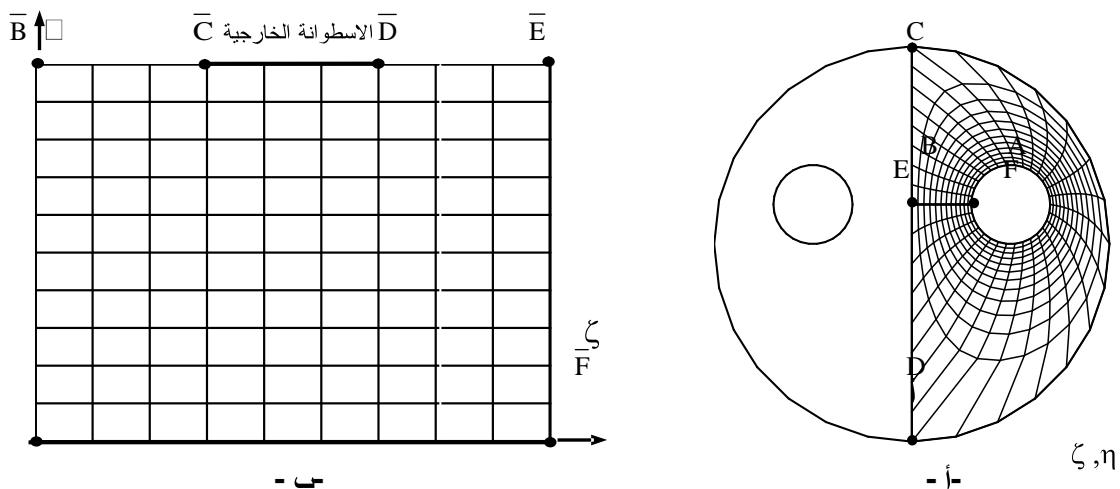
	<b>0</b>	<b>-17.54371</b>	<b>37.33537</b>	<b>1.25d</b>	<b>-17.54371</b>	<b>37.33537</b>
	<b>-0.5d</b>	<b>-19.6167</b>	<b>68.32435</b>	<b>1.50d</b>	<b>-12.71377</b>	<b>35.43256</b>



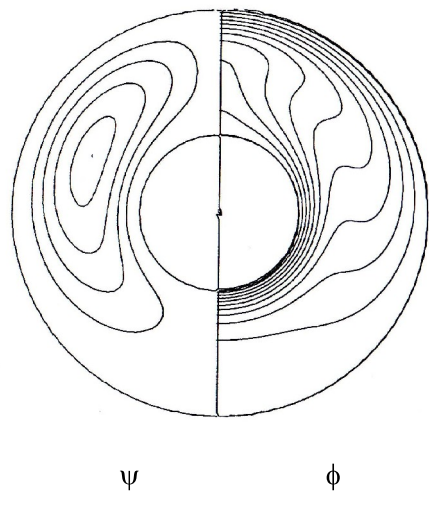
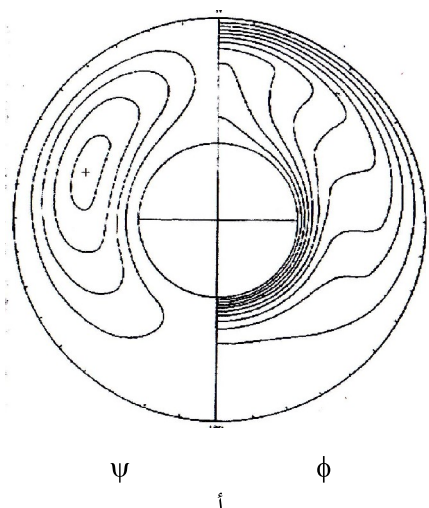
شكل(1): (ا) إحداثيات الشكل الهندسي المستخدم في البحث الحالي (ب): الجزء المستخدم في الحل والشروط الحدودية



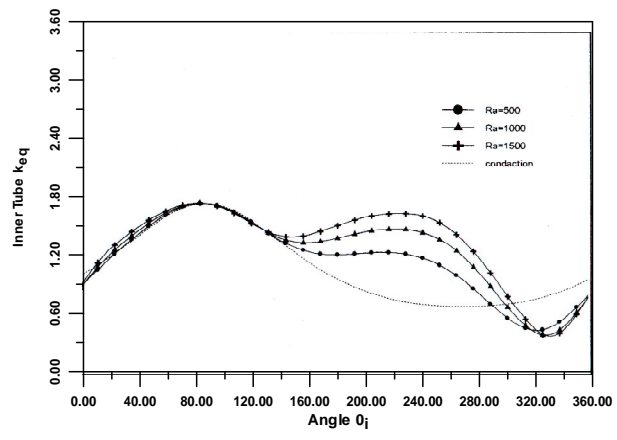
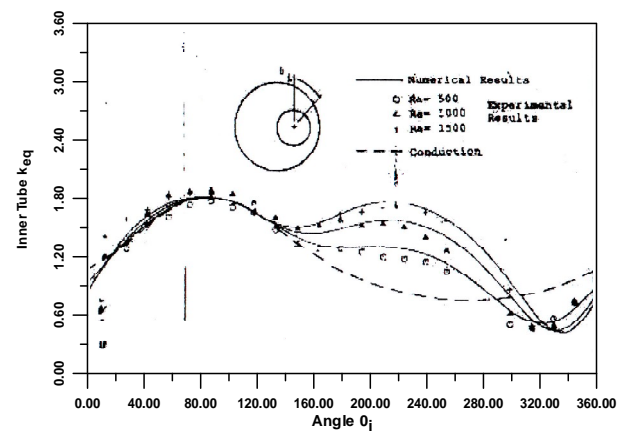
شكل(2): (ا) احداثيات  $(x, y)$  و  $(\xi, \eta)$  للشكل الهندسي (ABCDEFGA)  
(ب) الشكل الهندسي في المجال الحسابي للاحاديث



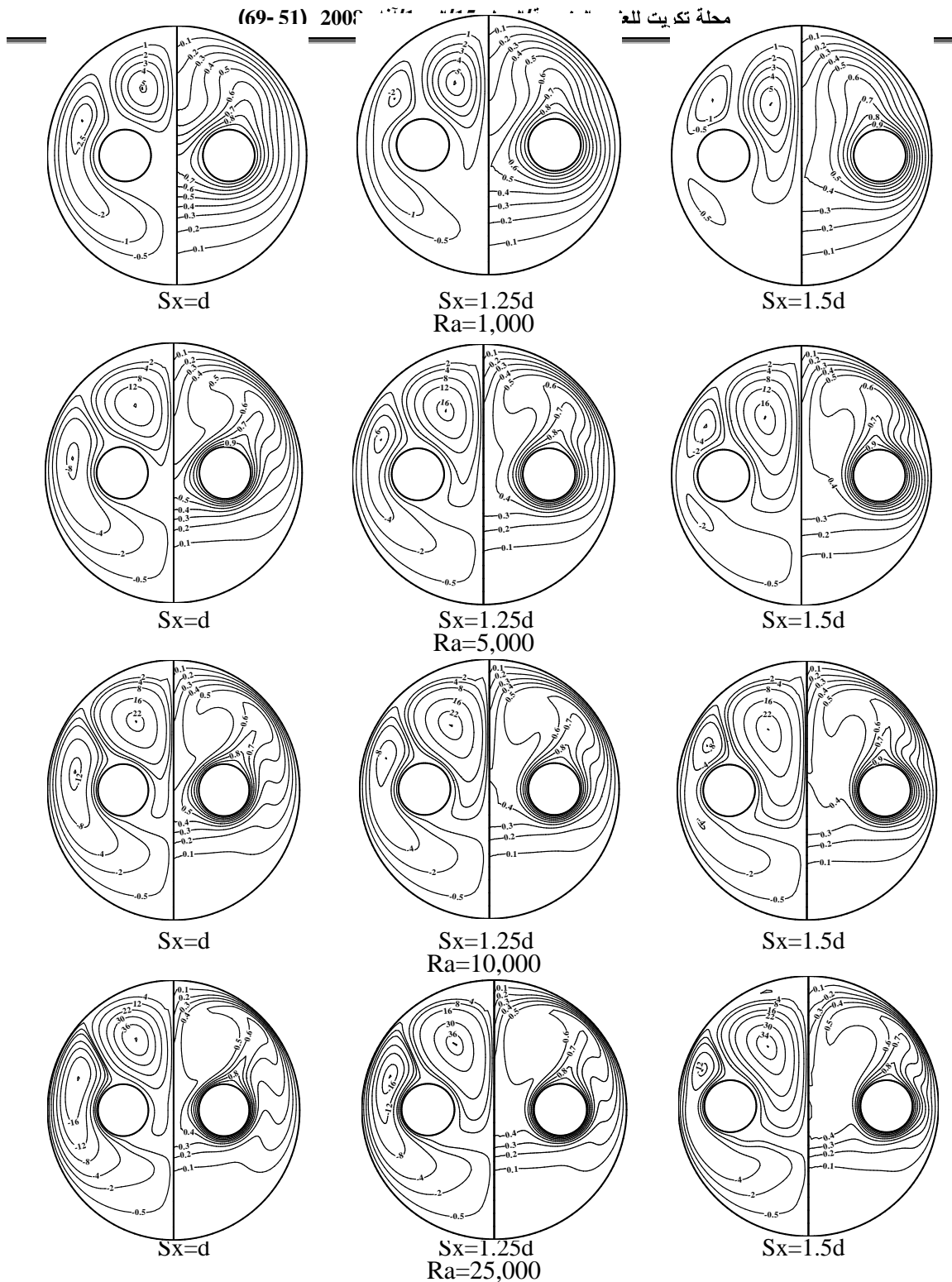
شكل(3): الشكل الهندسي المستخدم في البحث الحالي (ا) الاحاديث العامة (ب) المجال الحسابي للاحاديث  $(\xi, \eta)$



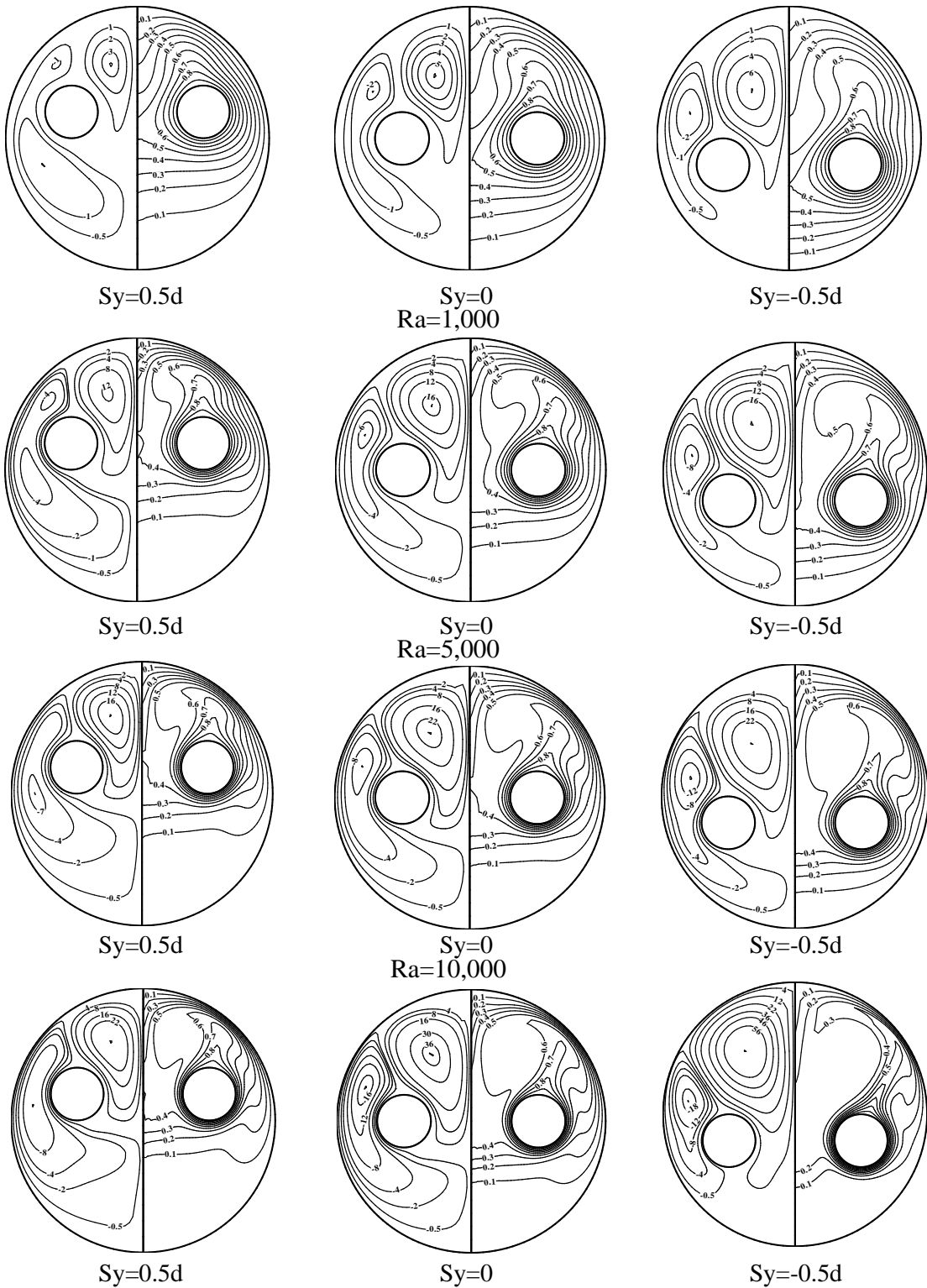
شكل(5): خطوط ثبوت درجة الحرارة وخطوط الانسياب  
 (أ) نتائج المصدر [١] (ب) نتائج البحث الحالي



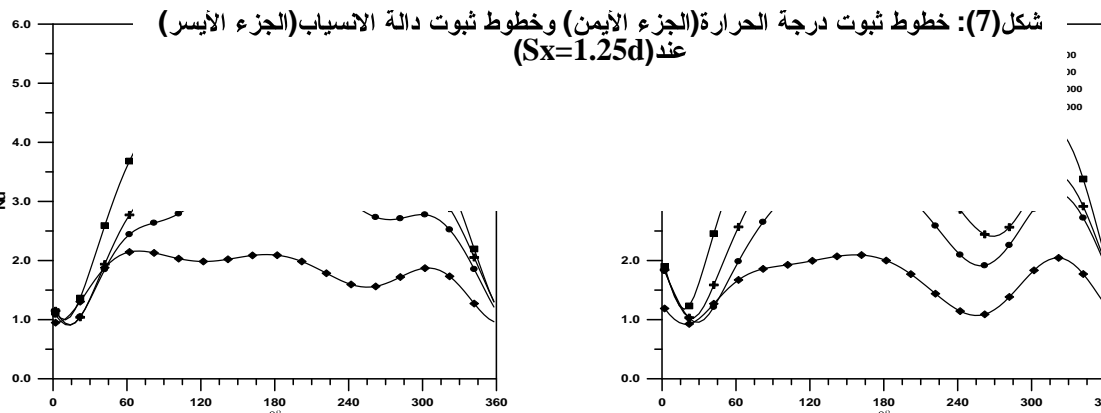
شكل (4): التوزيع الموضعي للموصلية المكافئة  $k_{eq}$  لاسطوانتين غير متراكزتين (أ) نتائج المصدر [٨] (ب) نتائج البحث الحالي



شكل(6): خطوط ثبوت درجة الحرارة (الجزء اليمين) وخطوط ثبوت دالة الانسياب (الجزء الايسر) عند ( $Sy=0$ )

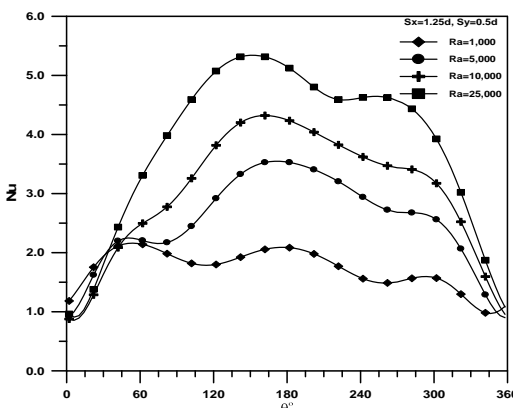


Ra=25,000

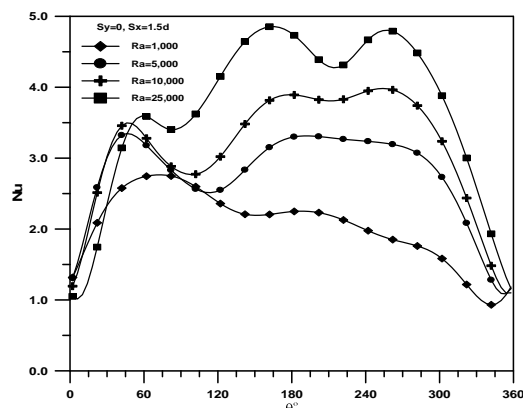


شكل(7): خطوط ثبوت درجة الحرارة(الجزء الأيمن) وخطوط ثبوت دالة الانسياب(الجزء الأيسر)  
( $Sx=1.25d$ ) عند ( $Ra=25,000$ )

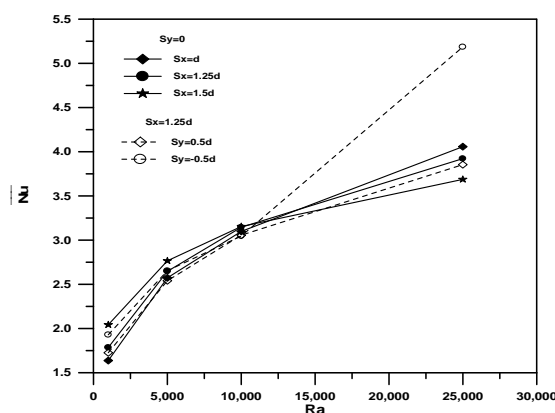
شكل (8): تغير عدد نسلت الموضعي على محيط الاسطوانة  
الداخلية لاعداد رالي مختلف عند ( $Sx=d$ )



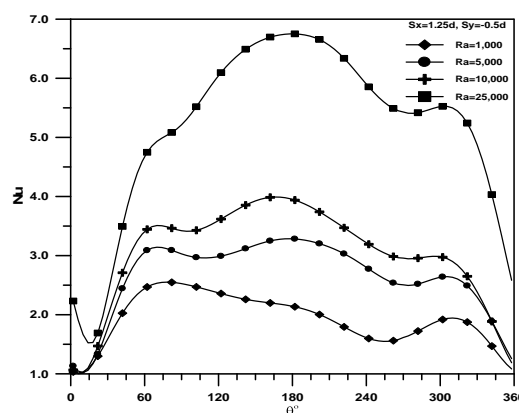
شكل(9): تغير عدد نسلت الموضعي على محيط الاسطوانة  
الداخلية لاعداد رالي مختلف عند ( $Sx=1.25d$ ,  $Sy=0.5d$ )



شكل(10): تغير عدد نسلت الموضعي على محيط الاسطوانة  
الداخلية لاعداد رالي مختلف عند ( $Sx=1.5d$ )



شكل(11): تغير عدد نسلت الموضعي على محيط الاسطوانة  
الداخلية لاعداد رالي مختلف عند ( $Sy=0.5d$ )



شكل(12): تغير عدد نسلت الموضعي على محيط الاسطوانة

## NUMERICAL STUDY OF NATURAL CONVECTION FROM TWO PARALLEL HORIZONTAL CYLINDERS ENCLOSED BY CIRCULAR CYLINDER

**Mahmoud H. Ali**

**Assistant Lecturer**

**Mechanical Eng. Dept.-Tikrit University**

### **ABSTRACT**

In this paper, numerical solution is presented for the steady state, two dimensional natural convection heat transfer from two parallel horizontal cylinders enclosed by circular cylinder. The inner cylinders are heated and maintained at constant surface temperature, while the outer cylinder is cooled at constant surface temperature. Boundary fitted coordinate system is used to solve governing equations. The vorticity-stream function and energy equations is solved using explicit finite difference method and stream function equation solved by successive iteration method. (20) Diferent cases are studied cover rang of Rayleigh number from (1,000) to (25,000) based on the inner cylinder diameter. These cases study the effect of the varying inner cylinders position horizontally and vertically within outer cylinder on the heat transfer and buoyancy that causes the flow. Outputs are displayed in terms of streamline, isothermal contours and local and average Nusselt number. The results showed that the position of the inner cylinders highly affects the heat transfer and flow movements in the gap. At low Rayleigh numbers the average Nusselt number increases with increase of horizontal distance between inner cylinders but the state is reversed at high Rayleigh numbers, while the average Nusselt number is increases with inner cylinder moving down at all Rayleigh numbers. The optimal position of inner cylinders for maximum and minimum heat transfer is located at each Rayleigh number so can be employed in isolation process or cooling process.

**KEY WORDS:** Natural convection, Horizontal cylinders, numerical analysis



This document was created with Win2PDF available at <http://www.win2pdf.com>.  
The unregistered version of Win2PDF is for evaluation or non-commercial use only.  
This page will not be added after purchasing Win2PDF.